



ENVIRONMENTAL SCIENCE

ISSN 0250-3301 CODEN HCKHDV **HUANJING KEXUE**

- 主办 中国科学院生态环境研究中心
- ■出版科学出版社



2019

Vol.40 No.5 第40卷 第5期

ENVIRONMENTAL SCIENCE

第40卷 第5期 2019年5月15日

Ħ 次

```
日次

2016 年 10 ~ 11 月期间北京市大气颗粒物污染特征与传输规律 张晗宇、程水潭、姚森、王晓琦、张俊峰(1999) 餐饮排放有机颗粒物的质量浓度、化学组成及排放因子特征 王红丽,景盛朝,乔利平(2010) 泰山顶(1 534 PM) 数9 冬季 PM。中元素浓度特征及其源分析 沈利娟、王红磊、银燕、陈髮、陈景华、施双双(2019) 郑州新乡冬季 PM。中元素浓度特征及其源分析 "月下,张朴真、黄海毒、高雅、张靖雯、宋鑫、张佳羽、李怀刚,曹治国、姜维韶、樊静、王跃思、金彩霞(2027) 我国 PM。浓度分阶段改善目标情景分析 贺晋瑜、燕丽、王彦超、雷宇、汪他颖(2036) 安阳市典型工业源 PM。排放特征及减排潜力估算 杜小申,燕丽、贺晋瑜、无地颖、王克、张瑞芹(2043) 郑州市典型工业炉窑细颗粒物排放特征及清单 起庆炎、韩土杰、张轶舜、杨留明、张瑞芹、燕启社(2052) 2015 年南京市城区挥发性有机物组成特征及大气反应活性 点天见、郭文讷、刘晓、陈凤、赵秋月,刘倩(2062) 兰州市化石燃料燃烧源排放 VOCs 的臭氧及二次有机气溶胶生成潜势 刘镇、朱玉凡、郭文讷、刘晓、陈瑗(2069) 12 种常见落叶果树 BVOCs 排放清单和排放特征 李双江、袁相洋、李琦、冯兆忠(2078) 我国典型陆地生态系统水位学离子特征及空间分布、黄丽、张心星、袁国富、朱治林、唐新斋、孙晓敏(2086) 我国典型区域地表水环境中抗生素污染现状及其生态风险评价 刘普、王曾、王字雷、李珍、杨超、厉思华、刘龙海(2016) 大连海域人海污染源中 PFASs 的赋存、输入通量和季节特征 陈虹、韩建波、张灿、程嘉增(2115) 干旱内陆河流域降水稳定同位素的时空特征及环境意义 袁瑞丰、李宗省、蔡玉琴、郑涛明(2122) 柳林泉域谷溶地原下水主要离子特征及反婚人发生制因素 黄奇波、草小群、刘朋丽,程瑞瑞、李肠芳(2132) 美左响水地区岩溶地下水主要离子特征及形域意义分析 范博、王晓南、黄子、湖、景晨晨、肖尚斌、李青宏、郑连朗(21143) 三峡水库水体溶解磷与颗粒磷的输移转化特征分析 秦延文、韩超南、郑西彝、京城镇(2143)三峡水库潜水至175 m后于流沉积物磷蓄积特征及释放潜力 黎客、潘婵娟、汤显展、肖尚斌、李青宏、规地民(2150) 平均和开度,现在现代的企业,本生、正明靖、李虹、欧阳美风(2170) 集湖十五里河流积物磷平衡浓度对外源碳的响应及释放风险 李莹杰、王丽婧、李虹、欧阳美风(2170) 集湖十五里河流积物磷平衡浓度对外源碳的响应及释放风险 李莹杰、王丽婧、李虹、欧阳美风(2178) 但江上游溪流环积物磷平衡浓度对外系统,京东、泰英、海西、张晓辉、周巷华、韩年(2186) 生态工程综合治理系统对农业小流域氮磷污染的治理效应 "新春、泉地菜、美郎西、晚鲜,则郑南、泉是企水(2194) 太湖流域河流沉积物重金属分布及污染评估
     不同 COD 浓度下低基质厌氧氮氧化的启动特征 马艳红,赵智超,安芳娇,黄利,师晓娟,慕浩,陈永志 (2317) 15℃ SBBR 短程硝化快速启动和稳定运行性能 孙艺齐,卞伟,李军,赵青,王文啸,梁东博,吴耀东 (2326) 长期低聚磷条件对 AO-SBR 系统 Accumulibacter 代谢特性的影响 王少坡,李柱,赵乐升,于静洁,赵明,郑胜达,孙力平 (2333) 厌氧氮氧化颗粒污泥 EPS 及其对污泥表面特性的影响 插明明,刘子汤,周杨,祁菁,赵凡,郭劲松,方芳 (2341) HN-AD 菌生物强化接触氧化工艺处理猪场沼液 刘向阳,张千,吴炬,李戾,唐健 泓,封丽,肖芃颖,赵天涛 (2349) 温度对自养型同步脱氮工艺处理猪场沼液 刘向阳,张千,吴炬,李戾,唐健 泓,封丽,肖芃颖,赵天涛 (2349) 温度对自养型同步脱氮工艺处理猪场沼液 刘向阳,张千,吴炬,李彦,唐健 况,封丽,肖芃颖,赵天涛 (2349) 温度对自养型同步脱氮工艺处理猪场溶液,水疾氧消化液性能及微生物群落的影响 黄方玉,邓良伟,杨红男,杨含,肖友乾,王兰 (2357) 亚高山湖群中真菌群落的分布格局和多样性维持机制 刘晋仙,李毳,罗正明,王雪,暴家兵,柴宝峰 (2382) 生物质炭对双季稻田土壤反硝化功能微生物的影响 兄辈,江水胜,陈进、文非集高,在乡域,郝庆菊(2404) 亏缺灌溉对冬小麦农田温室气体排放的影响 倪雪,江长胜,陈世杰,李晓茜,石孝均,郝庆菊(2404) 亏缺灌溉对冬小麦农田温室气体排放的影响 兄辈,江水胜,陈世杰,李晓茜,石孝均,郝庆菊(2404) 亏缺灌溉对冬小麦农田温室气体排放的影响 兄辈,江水胜,陈世杰,李晓茜,石孝均,郝庆菊(2404) 亏缺灌溉对冬小麦农田温室气体排放的影响 里晓云,漆块黏,奏晶,孝江文,肴吴璐,孝松(2435) 广西高镉异常区水田土壤 Cd 含量特征及生态风险评价 宋波,是易,炎晶晶,孝江文,肴吴璐,孝阳(2426) 图伟,伍延正,汤水荣,朝玉麟,赖倩倩,文冬妮,孟磊,吴川德(2426) 图博性变温对紫色土有机碳矿化的影响 王晓云,漆块盖,类量晶,孝江文、贵吴璐,李松(2435) 广西高镉异常区水田土壤 Cd 含量特征及生态风险评价 宋波,王佛鹏,周浪,吴勇,庞瑞,陈同斌(2443)超富集植物藿香蓟(Ageratum conyzoides L.)对镉污染农田的修复潜力 张云霞,寒波,寒,炎,寒水,,身,成,寒。
```



泰山顶(1534 m)夏季气溶胶粒径分布特征

沈利娟1, 王红磊1,2*, 银燕1, 陈魁1, 陈景华1,3, 施双双1

(1. 南京信息工程大学气象灾害预报预警与评估协同创新中心,中国气象局气溶胶-云-降水重点开放实验室,南京 210044; 2. 上海市大气颗粒物污染防治重点实验室,上海 200000; 3. 河北省气象与生态环境重点实验室,石家庄 050000)

摘要:使用宽范围粒径谱仪对泰山顶 2017 年 6 月 1~25 日 10 nm~10 μ m 气溶胶数浓度粒径分布进行观测,结合 PM(PM_{2.5} 和 PM₁₀)以及气象要素数据,分析了泰山顶气溶胶粒径分布特征及其主要影响因素. 结果表明,观测期间泰山 PM_{2.5}和 PM₁₀的平均浓度分别为 20.7 μ g·m⁻³和 82.4 μ g·m⁻³, PM_{2.5}/PM₁₀仅为 25.1%. 数浓度、表面积浓度和体积分数平均为8 672.8 cm⁻³、408.3 μ m²·cm⁻³和 24.2 μ m³·cm⁻³. 数浓度谱分布为单峰型分布,表面积浓度和体积分数谱分布均为三峰型分布. 数浓度和表面积浓度的主导粒径分别为 10~20 nm 和 100~500 nm,体积分数的主导粒径为 100~500 nm 和 2.5~10 μ m. 风向对 PM 和数浓度的影响要比风速的影响大. 随着 RH 的增加,气溶胶数浓度谱由双峰型分布转变为单峰型分布,表面积浓度谱由单峰型分布转变为三峰型分布.

关键词:泰山;数浓度;粒径分布;气溶胶;气象要素

中图分类号: X513 文献标识码: A 文章编号: 0250-3301(2019)05-2019-08 DOI: 10.13227/j. hikx. 201809196

Size Distributions of Aerosol During the Summer at the Summit of Mountain Taishan (1534 m) in Central East China

SHEN Li-juan¹, WANG Hong-lei^{1,2*}, YIN Yan¹, CHEN Kui¹, CHEN Jing-hua^{1,3}, SHI Shuang-shuang¹ (1. Collaborative Innovation Center on Forecast and Evaluation of Meteorological Disasters, Key Laboratory for Aerosol-Cloud-Precipitation of China Meteorological Administration, Nanjing University of Information Science & Technology, Nanjing 210044, China; 2. Shanghai Key Laboratory of Atmospheric Particle Pollution and Prevention, Shanghai 200000, China; 3. Key Laboratory of Meteorology and Ecological Environment of Hebei Province, Shijiazhuang 050000, China)

Abstract: In this study, the size distribution of aerosol number concentration (10 nm-10μm), particulate matter ($PM_{2.5}$ and PM_{10}), and meteorological data were collected from June 1 to 25, 2017, at the summit of Mountain Taishan by using a wide-range particle spectrometer (WPS), a β-ray continuous ambient particulate monitor, and an automatic weather station. Consequently, the characteristic of the aerosol size distribution and their impact factors were analyzed. The results indicated that the average mass concentration of $PM_{2.5}$ and PM_{10} were 20.7 μg·m⁻³ and 82.4 μg·m⁻³, respectively, and the ratio of $PM_{2.5}/PM_{10}$ was only 25.1%. The average number concentration, surface area concentration, and volume concentration were 8 672.8 cm⁻³, 408.3 μm²·cm⁻³, and 24.2 μm³·cm⁻³, respectively. The spectrum distribution was unimodal for number concentration were located at 10-20 nm and 100-500 nm, respectively. The volume concentration had dominant sizes at 100-500 nm and 2.5-10 μm. Wind direction was proved to have a greater influence on PM and number concentration compared with wind speed. With the enhancement of RH, the spectrum of number concentration was converted from bimodal to unimodal distribution, while the surface area concentration changed from unimodal to trimodal distribution.

Key words; Mountain Taishan; number concentration; size distribution; aerosol; meteorological element

气溶胶作为重要的大气成分之一,可以降低能见度形成霾污染^[1~3],其重金属和有机物等有毒有害的化学组分还会影响人体健康^[4,5],还可作为云凝结核影响云的特性和生命周期^[6,7],并可通过直接和间接辐射效应影响全球辐射平衡进而对全球气候变化造成影响^[8~10].近年来,随着经济的快速发展,我国工业化和城市化进程加快,但能源利用率仍然较低,因此工业、民用及汽车尾气等人为源大气污染物排放有增无减,导致城市、城市群和区域空气质量严重恶化。目前,大气气溶胶已成为导致我国城市空气质量恶化的首要污染物,我国气溶胶污染问题受到了国内外的广泛关注。

目前以京津冀、长三角、四川盆地和珠三角地区为代表的区域复合型大气污染日益凸显.除珠三角外,其他3个地区细颗粒物尤其是二次气溶胶颗粒的污染持续加重,造成霾污染天气日益增加,严重影响大气能见度和人体健康^[2,11~16].除气象要素(主要为相对湿度)外,气溶胶粒子的消光效应与气

收稿日期: 2018-09-26; 修订日期: 2018-11-19

基金项目: 国家自然科学基金项目(41590873,41805096,41705118); 江苏省自然科学基金项目(BK20180801); 江苏省高等学校自然科学研究项目(18KJB170011); 上海市大气颗粒物污染防治重点实验室开放课题(FDLAP18006); 河北省气象与生态环境重点实验室开放研究基金项目

作者简介: 沈利娟(1987~), 女, 博士研究生, 主要研究方向为大 气环境与大气化学, E-mail; shenlijuan_428@163.com

* 通信作者, E-mail: hongleiwang@ nuist. edu. cn

溶胶的浓度、粒径和化学组成密切相关. 江祺等[17] 的研究发现, 2013~2015年北京市污染日较清洁日 气溶胶的粒径分布均有不同程度地向大粒子一侧拓 宽的现象. 周瑶瑶等[18]的研究发现, 南京市霾日中 NH₄NO,对大气消光的贡献最大,其次为 (NH₄)₂SO₄、有机碳(OC)和元素碳(EC). Kang 等^[19]的研究发现, 长三角霾过程中 0.6~1.4 μm 粒径段气溶胶数浓度的增加是造成能见度下降的主 要原因. Wang 等^[20,21]进一步研究发现, 霾过程中 含碳气溶胶粒子的增加是造成能见度下降的主要影 响因素, 其中又以 EC 混合二次成分(ECsecondary)粒子为主,其在霾天可占总含碳粒子的 16.6%,是干净天的4倍.杨洋等[22]的研究发现, 边界层内不同粒径段的气溶胶浓度随高度的变化不 同, 逆温层的存在阻碍了近地层气溶胶粒子向高层 的传输.

气溶胶粒子由地面传输到边界层顶后,则可随着大气流场进行远距离的输送. 孟静静等^[28]的研究发现,黄山光明顶积聚模态颗粒物数浓度的潜在源区主要来自一些工业发达人口密集的城市群: 湖北东部、安徽中部、河南、江西境内、两广交界处、湖南南部以及浙江北部地区. 目前,受到观测技术以及观测条件的限制,我国在边界层顶附近的气溶胶观测多集中在高山山顶. 近年来,在黄山^[23-26]、泰山^[27-28]、衡山^[29]、庐山^[30]和华山^[31]等山脉进行了一些气溶胶的短时综合观测. 这些观测极大地丰富了人们对于气溶胶垂直分布的认识,尤其是对于边界层顶附近气溶胶的理化特性的理解.

泰山作为中国中东部的最高峰,位于京津冀和长三角气团传输通道的中间位置,泰山顶海拔为1534~m,基本位于中东部地区边界层顶部,因此对于泰山顶气溶胶粒径分布的观测研究,有利于加深人们对于中国中东部气溶胶区域分布特征的认识.在本研究中,使用宽范围颗粒粒径谱仪(WPS)、 β -射线测尘仪和自动气象站收集了2017~年6~月1~25 日泰山顶10~10 10

1 材料与方法

1.1 观测站点介绍

观测点位于泰山日观峰的泰山气象站(36.25° N,117.10°E;1534 m),泰山是中国中东部的最高峰,绵亘于泰安、济南、莱芜三市之间,东西长约

200 km, 南北宽约 50 km. 许多燃煤电厂、炼油厂、钢铁厂、水泥厂分布在泰山周边(100 km)的工业城市(济南、淄博、莱芜、聊城、济宁、泰安等). 泰山位于泰安市以北 6 km, 省会济南市以南约 60 km, 因此, 当地和区域的污染源排放可能影响到泰山山顶的空气质量. 泰山的海拔高度接近华北平原的边界层顶部, 在夏季山顶经常出现地形云. 本次观测时间为 2018 年 6 月 1~25 日.

1.2 观测仪器介绍

气溶胶数浓度观测仪器使用美国 MSP 公司生产的宽范围颗粒粒径谱仪(WPS),测量粒径范围为 0.01~10 μm. 仪器主要由静电分级器(DMA)、凝结核计数器(CPC)和激光颗粒物分光计(LPS)3个部分组成,前两者的测量范围为 0.01~0.5 μm,后者为 0.35~10 μm. 由于测量原理的不同,因此在其交叉测量范围内(0.35~0.5 μm)的观测值也有所差异. 观测中使用的时间分辨率为 5 min,即 5 min 内仪器扫瞄 0.01~10 μm 粒径范围并测量出气溶胶粒子的个数. 根据观测的实施情况,对仪器鞘气进行干燥,以去除高相对湿度对数据的影响,经数据处理后剔除了部分无效数据.

 $PM_{2.5}$ 和 PM_{10} 使用安徽蓝盾光电子股份有限公司生产的蓝盾 LGH-01E 和 LGH-01B 型大气颗粒物监测仪. 仪器采用 β 射线法原理,结合动态加热系统(DHS)及动态数字滤波技术,实现对 PM 进行连续自动监测. 时间分辨率为 1 h,根据仪器厂家要求剔除部分无效数据. 气象数据使用 CSI-CR1000自动气象站进行观测,主要包括风速风向、温度、相对湿度和能见度等气象要素. 气象数据质量控制参照中国气象局地面观测要求.

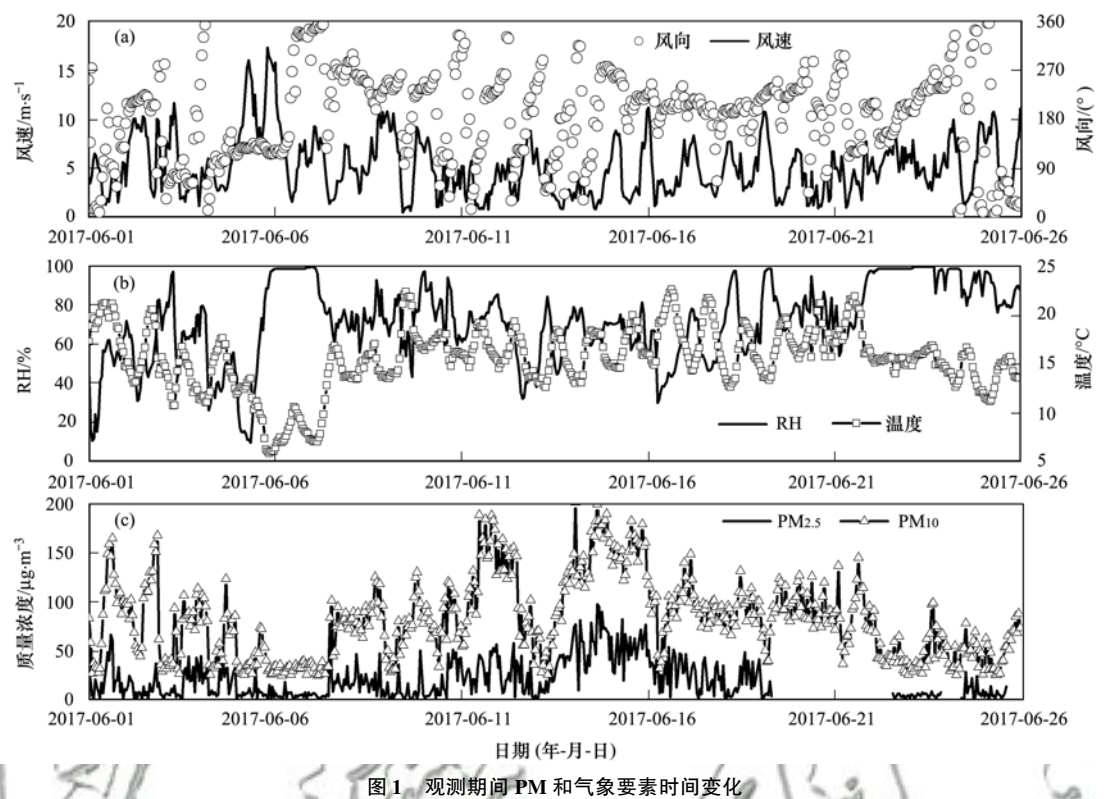
2 结果与讨论

2.1 观测概述

由图 1 可发现泰山山顶夏季气象要素波动较大,整个观测期风速较大,平均值可达 5.2 m·s⁻¹ (表 1),6 月 5 日 17:00 达到最大值 17.4 m·s⁻¹.由于观测点海拔高度为1 534 m,接近边界层顶的位置,由图 1(a)可发现观测期间风向多变,但是以西南风为主.由图 1(b)可发现泰山顶部 RH 变化剧烈,经常在几小时内有较大起伏,比如 6 月 5 日09:00 RH 仅为 19.6%,而到 6 月 6 日 00:00 则增大到 99%,在这十几个小时内 RH 几乎为直线上升.由图 1(b)可发现类似的 RH 变化在观测期间经常出现,主要是因为观测点位于山顶,容易受到地形云的影响.当地形云移动到观测站点时,RH 就会急剧升高,而到地形云离开站点时,RH 则会迅

速下降. 由表 1 可知观测期间 RH 最小值仅为 9.6%,但是最大值可达到 100%,中值和平均值分别为 72.2% 和 71.5%.由于泰山夏季降水较多,山

顶地形云出现几率较大,因此 RH 较高. 由图 1(b) 可知泰山顶温度变化与 RH 相反,由表 1 可知观测期间平均温度为 15.5 $^{\circ}$ $^{\circ}$.



Time series of PM and meteorological elements during the observation period

Summaries of meteorological elements, PM and aerosol number concentration during the observation period

1 1 1 1 2 2

表 1 气象要素、PM 和数浓度统计

项目	最大值	最小值	中值	平均值	标准偏差
温度/℃	22. 7	5.8	15. 6	15. 5	3. 2
RH/%	100. 0	9.6	72. 2	71. 5	20. 0
风速/m·s ⁻¹	17. 4	0.5	4. 7	5. 2	3.0
能见度/km	35. 0	0.0	11.5	13. 9	11.0
$PM_{2.5}/\mu g \cdot m^{-3}$	97. 9	1.0	13. 5	20. 7	19. 6
$PM_{10}/\mu g \cdot m^{-3}$	202. 4	25. 0	80. 7	82. 4	40. 7
数浓度/cm ⁻³	46 682. 0	743. 5	6 737. 1	8 672. 8	6 721. 0
表面积浓度/μm²·cm ⁻³	1 885. 8	10.8	409. 2	408. 3	225. 5
体积分数/μm ³ ·cm ⁻³	1 124. 8	0. 2	20. 0	24. 4	46. 7

由图 1 可知泰山 $PM_{2.5}$ 除了在 6 月 13~15 日浓度较高外,其余观测期浓度均较低. 而在整个观测期内, PM_{10} 的浓度较高,最高可达 202.4 $\mu g \cdot m^{-3}$. 由表 1 可知观测期间, $PM_{2.5}$ 和 PM_{10} 的平均浓度分别为 20.7 $\mu g \cdot m^{-3}$ 和 82.4 $\mu g \cdot m^{-3}$, $PM_{2.5}/PM_{10}$ 为 25.1%. 一方面由于泰山顶部风速较大,而植被覆盖相对较少,因此裸露的地面较多,容易使得土壤扬尘等粗粒子进入大气. 另一方面泰山顶部寺庙较多,游客焚香烧纸过程也会燃放大量粗颗粒,也会使得泰山顶部 PM_{10} 浓度较高.

2.2 泰山顶气溶胶谱分布特征

气溶胶的粒径分布特征决定了它们在大气中的

滞留时间以及物理、化学特性,通过对气溶胶颗粒物的数浓度谱和化学组成等的研究可以确定气溶胶颗粒物的来源信息.由图 2 可知观测期间泰山数浓度谱分布为单峰型分布,峰值位于 40 nm.此外从中可发现气溶胶数浓度主要集中在 500 nm 以下粒径段,大于 500 nm 气溶胶数浓度非常低.由表 1 可知观测期间数浓度平均为8 672.8 cm⁻³.由图 2 可知泰山表面积浓度谱和体积分数谱分布均为三峰型分布.表面积浓度的峰值分别位于 250 nm、520 nm和 10 μm,体积分数的峰值分别位于 310 nm、520 nm和 10 μm,由表 1 可知观测期间表面积浓度和体积分数 平均为408.3 μm²·cm⁻³和24.2

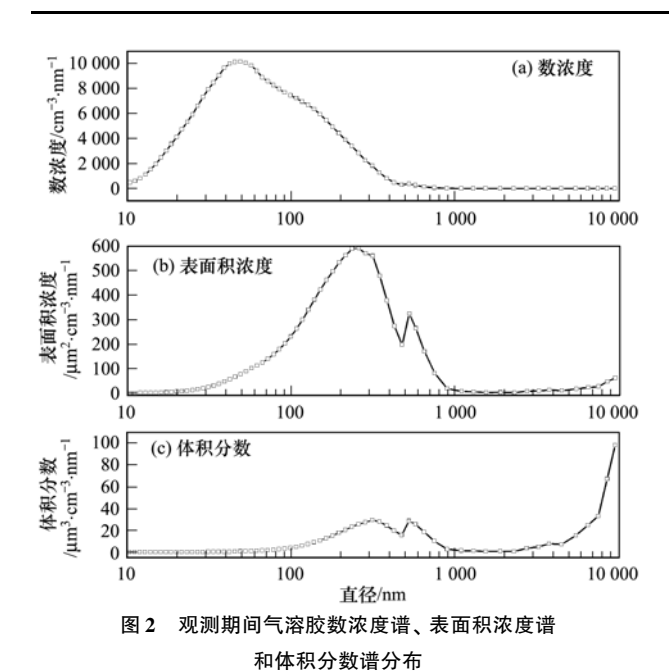


Fig. 2 Spectral distribution of the aerosol number concentration surface area concentration and volume concentration during the observation period

 $\mu \text{m}^3 \cdot \text{cm}^{-3}$.

由图 2 可知在数浓度最大时,表面积浓度和体积分数反而较小.在 5~10 μm 的粗粒子段,虽然数浓度非常低,但是体积分数非常高,在 10 μm 左右体积分数的峰值最大,这也与泰山 PM₁₀的浓度较

高相吻合.

表 2 可知泰山核模态粒子数浓度为 582.6 cm⁻³,可占总数浓度的 6.6%;但是表面积浓度和 体积分数仅为 0.5 μm²·cm⁻³ 和 0.002 μm³·cm⁻³, 几乎可以忽略,也就是说核模态粒子对质量浓度几 乎没有贡献. 爱根核模态粒子数浓度为5770.8 cm⁻³, 占总数浓度的 65%; 表面积浓度为 59.1 μm²·cm⁻³, 占总表面积浓度的 14.3%. 但是体积 分数仅为 $0.7 \, \mu \text{m}^3 \cdot \text{cm}^{-3}$, 占总体积分数的 2.4%. 核模态粒子主要来自气-粒转化过程, 大气中新粒 子生成事件是其重要的来源之一[32],虽然其停留 时间较短, 但是大气中爱根核模态粒子的重要来 源. 爱根核模态粒子还主要来自燃烧过程所产生的 一次排放的颗粒物, 比如汽车尾气的直接排 放[33,34]. 泰山由于海拔较高, 因此汽车尾气的影响 较小, 而爱根核模态粒子数浓度又非常高, 可能主 要来自核模态粒子增长以及烹饪等燃烧过程.

長2 观测期间各粒径范围内气溶胶数浓度、表面积浓度和体积分数

Table 2 Summaries of aerosol number concentration, surface area concentration, and volume

粒径范围	数浓度/cm ⁻³		表面积浓度/µm²·cm ⁻³		体积分数/μm³·cm-3	
松 /全化 国	平均值	标准偏差	平均值	标准偏差	平均值	标准偏差
10 ~ 20 nm	582. 6	1 159. 9	0. 5	1. 1	0.002	0.003
20 ~ 100 nm	5 770. 8	7 920. 2	59. 1	85. 0	0. 7	1.0
100 ~ 500 nm	2 481. 3	1 514. 5	298. 0	175. 2	12. 2	7. 4
0. 5 ~ 1. 0 μm	37. 4	33. 4	41.9	38. 6	4. 3	4. 1
1. 0 ~ 2. 5 μm	0. 7	0. 9	3.9	5. 0	0. 9	1. 1
2. 5 ~ 10 μm	0. 1	0.6	10. 3	78. 8	11.0	98. 4

积聚模态粒子主要来源于爱根核模态粒子的凝结和碰并增长过程以及燃烧过程产生的高温蒸汽的凝结核碰并.由表2可知观测期间100~500 nm气溶胶数浓度为2481.3 cm⁻³,占总数浓度的28.0%;表面积浓度和体积分数分别为298.0μm²·cm⁻³和12.2μm³·cm⁻³,分别占总浓度的72.0%和41.9%.这个粒径段粒子贡献了绝大多数的表面积浓度,但是经计算其与能见度的相关系数仅为-0.16,并不是影响能见度的主要粒径段.0.5~1.0μm数浓度为37.4 cm⁻³,占总数浓度的0.4%,但是却贡献了10.1%和14.8%的表面积浓度和体积分数.此外,该粒径段粒子数浓度与能见度的相关系数为-0.49,为所有粒径段中与能见度

相关性最高的粒径段. 主要是因为该粒径段为可见 光谱段, 因此气溶胶粒子的消光系数最高^[19].

粗模态粒子主要来自机械过程. 由表 2 可知粗模态粒子数浓度几乎可以忽略不计,但是表面积浓度和体积分数较较高. $2.5 \sim 10~\mu m$ 粒径段粒子平均数浓度仅为 $0.1~cm^{-3}$,但是却贡献了 2.5% 和 37.8% 的表面积浓度和体积分数.

2.3 泰山顶气溶胶日变化特征

由图 3 可发现数浓度和表面积浓度的日变化特征基本类似,均为白天高,夜间低.尤其是数浓度,在 10:00~12:00 达到最大值,此后浓度呈现显著地下降趋势.由图 4 可知风速在白天远低于夜间,10:00~13:00 风速最小.一方面此时太阳辐射较

强,有利于气溶胶新粒子的生成.另一方面,此时风速较低,大气扩散条件较弱,因此气溶胶粒子容易积聚.13:00之后,风速开始增加,大气扩散条件开始增强.14:00温度达到最大值、RH达到最低值,此后温度开始迅速降低,RH开始迅速升高.随着太阳辐射的减弱,气溶胶新粒子的生成速率逐渐减弱直至消失.此外,高RH的大气环境,也使得大气中的气溶胶粒子更容易发生凝结和碰并过程.因此,气溶胶数浓度开始持续降低.由图3可发现15:00~17:00虽然数浓度持续下降,但是表面积浓度却出现一个峰值,这也说明在该时间段气溶胶粒子发生了凝结或者碰并增长.

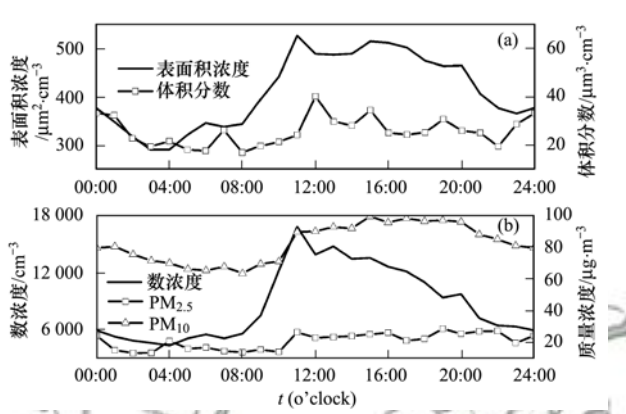


图 3 观测期间 PM、气溶胶数浓度、表面积浓度 和体积分数日变化

Fig. 3 Diurnal variations of PM, aerosol number concentration, surface area concentration and volume concentration during the observation period

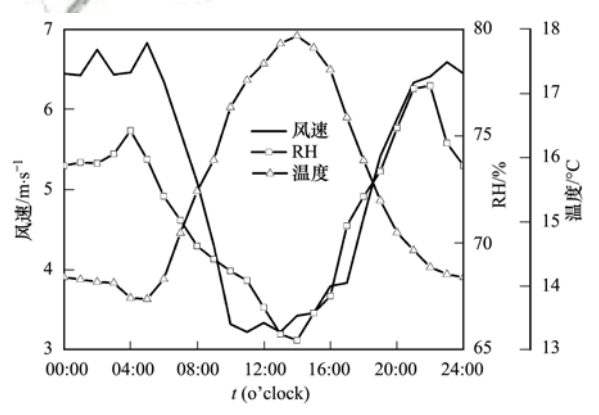


图 4 观测期间主要气象要素日变化

Fig. 4 Diurnal variations of the mainmeteorological elements during the observation period

由图 3 可发现体积分数的日变化比较复杂,为多峰型分布,峰值主要出现在 07:00、12:00、15:00和 19:00.由图 4 可知表面积浓度早晚峰值期间,对应的 RH 分别为 71%和 75%,温度均为 14.8℃,即多为高湿低温的环境,此时多为晨雾消散和晚雾生成的阶段,因此虽然数浓度较低,但是体积分数非常高.

由图 3 可发现 $PM_{2.5}$ 和 PM_{10} 的日变化特征比较类似,均为白天高,夜间低. 一方面是因为白天风速较低,另一方面白天泰山人为活动较多,因此造成白天 PM 的浓度较高. 由图 3 可发现 PM_{10} 全天浓度均远大于 $PM_{2.5}$,由图 4 可知泰山全天风速均超过 3 $m \cdot s^{-1}$,夜间甚至超过 6 $m \cdot s^{-1}$,而观测点周边植被相对较少,多裸露的沙土,因此 PM_{10} 的浓度较高. 此外,泰山风景区寺庙较多,白天多焚香烧纸的祭祀活动,而这些燃烧过程排放的颗粒物又以粗粒子为主,这也是造成 PM_{10} 浓度较高的一个主要原因.

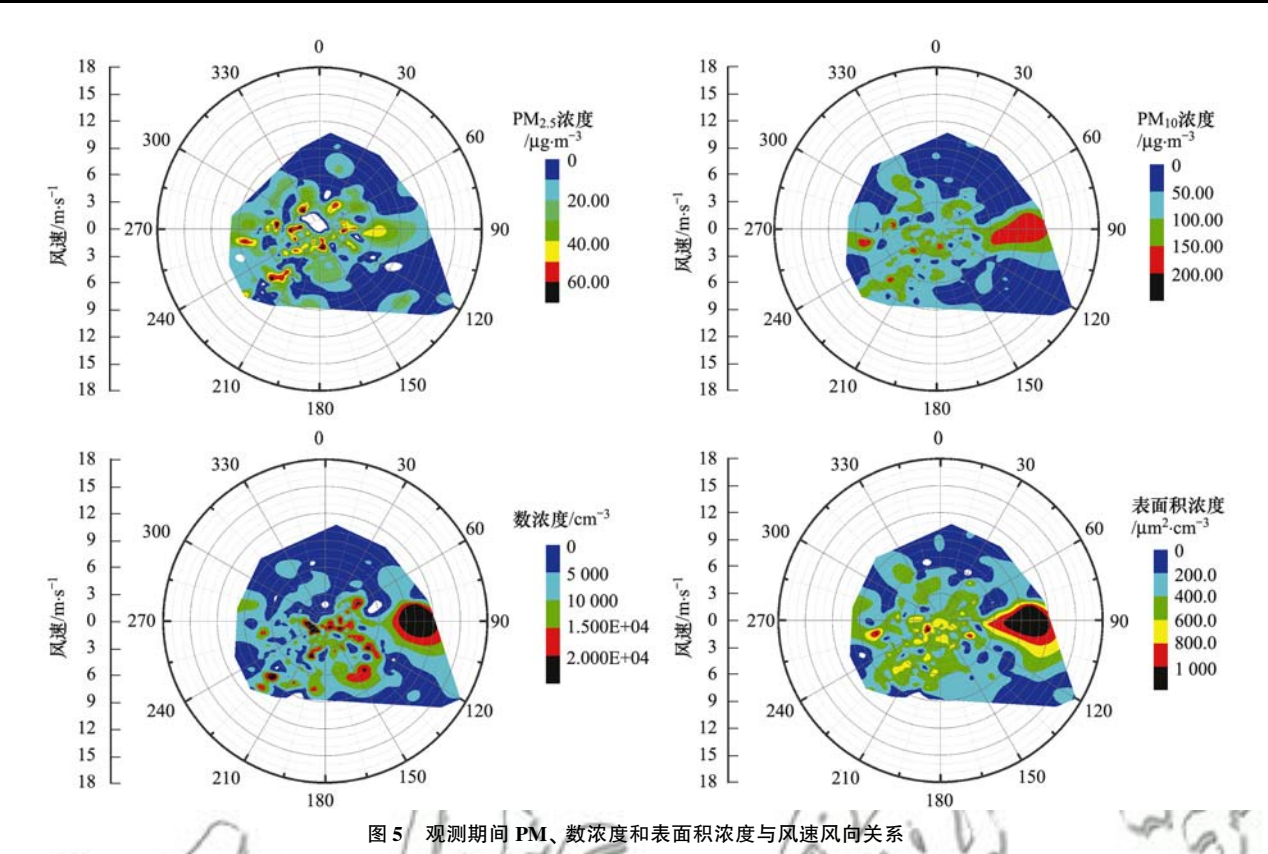
2.4 泰山顶气溶胶与主要气象条件的关系

由图 5 可发现 PM2.5和 PM10 的高值区主要分布 在偏西风方向, 东北风方向 PM 的浓度比较低. 观 测点的西部分散众多宾馆和寺庙, 人为活动频繁, 人为源较多. 观测点东北方向为景区后山, 人为活 动稀少, 因此 PM 污染源相对较少. 此外由图 5 可 发现当东风时, PM₁₀存在一个非常明显的高值区, 并且高值区分布位于风速为6~12 m·s⁻¹区间,由 表1可知远大于观测期间的平均风速, 因此高浓度 的 PM 多为景区外输送影响. 此外, 在观测点东部 50km 范围内分布较多的钢铁厂、化工厂和冶金厂 等,这些工厂的高架点源排放的污染物,在大风天 也会向观测点输送大量的气溶胶. 当风速小于6 $m \cdot s^{-1}$ 时, 在所有方向上 PM 的浓度均较高, 这主要 是由于景区内自身污染源排放影响. 但是当风速大 于9 m·s⁻¹时, PM 的浓度较低, 主要是因为大风速 下扩散条件较好,有利于污染物扩散.

数浓度在偏北风时较低,其余风向下浓度较高.此外,风向对数浓度的影响要比风速的影响大.当风速较大时,数浓度也会较高,比如当风向为120°时,虽然风速超过15 m·s⁻¹,但是数浓度仍然比较大.此外由图5可知当东风风速为9~12 m·s⁻¹时,数浓度最高.表面积随风速风向的分布与数浓度的分布类似.

不同 RH 下气溶胶的理化特性存在显著差异,大气气溶胶粒子的吸湿增长会增强其消光特性,使大气能见度降低. 本研究将 RH 分为 0 ~ 30%、30%~60%、60%~80%、80%~90%和90%~100%这5个档,对应平均能见度分别为34.6、30.2、21.0、14.2和3.4 km.

由图 6 可知不同 RH 下气溶胶谱分布不同. 当 RH < 30%,数浓度谱分布为双峰型分布,峰值分别位于 40 nm 和 90 nm;表面积浓度谱分布为单峰型分布,峰值位于 160 nm. 当 30% < RH < 60% 时,数浓度谱分布还为双峰型分布,但是第一个峰值浓



Wind effects on PM, aerosol number concentration, and surface area concentration during the observation period

度明显增大,位于90 nm 处的峰值几乎观测不到.此时,表面积浓度谱为双峰型分布,峰值分别位于230 nm 和520 nm. 随着RH的增加,表面积浓度谱开始向大粒径段偏移.但是此时RH<60%,气溶胶粒子的吸湿增长还不明显,平均能见度几乎没有降低.

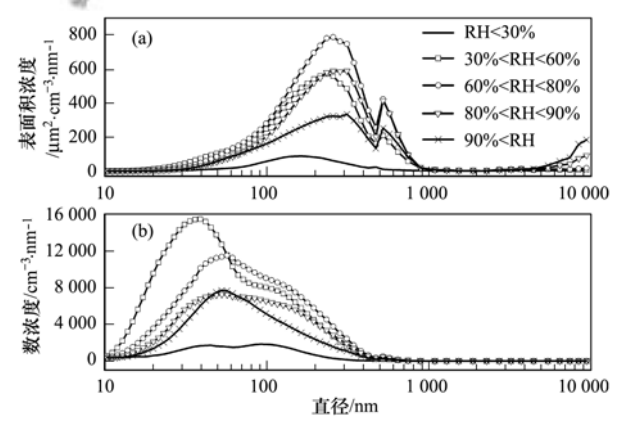


图 6 不同 RH 下数浓度谱和表面积浓度谱分布

Fig. 6 Spectral distributions of aerosol number concentration and surface area concentration in different RH

当60% < RH < 80% 时,气溶胶粒子吸湿增长加速,由图6可知此时气溶胶数浓度谱为单峰型分布,峰值位于60 nm. 此时,表面积浓度谱为双峰型分布,峰值分别位于260 nm 和520 nm. 可发现,数浓度谱和表面积浓度谱的最大峰值均向大粒径段偏移. 说明气溶胶粒子在此 RH 下吸湿增长较为明

显,气溶胶粒子粒径增大,造成其消光系数增加, 因此能见度下降较多,平均能见度为21.0 km.

当80% < RH < 90% 时,一般为雾-霾转换过程. 由图 6 可发现数浓度在此 RH 下有所降低,数浓度谱为单峰型分布,但是峰宽较大,可横跨 30 ~ 160 nm. 此时表面积浓度谱呈现三峰型分布,峰值分别位于 260 nm、520 nm 和 10 μm. 当 RH > 90%时,即为云雾过程时,由图 6 可发现气溶胶数浓度谱为典型的单峰型分布,峰值位于 50 nm. 但是此时可发现表面积浓度谱为三峰型分布,峰值分别位于 300 nm、520 nm 和 10 μm. 由于云雾过程对于小粒子的清除作用,使得表面积浓度的第一个峰值往大粒径段偏移.

3 结论

(1) 观测期间泰山 $PM_{2.5}$ 和 PM_{10} 的平均浓度分别为 20.7 μg·m⁻³和 82.4 μg·m⁻³, $PM_{2.5}/PM_{10}$ 仅为 25.1%.数浓度、表面积浓度和体积分数平均为 8672.8 cm⁻³、408.3 μm²·cm⁻³和 24.2 μm³·cm⁻³.数浓度谱分布为单峰型分布,峰值位于 40 nm.表面积浓度和体积分数谱分布均为三峰型分布。表面积浓度的峰值分别位于 250 nm、520 nm 和 10 μm,体积分数的峰值分别位于 310 nm、520 nm 和 10 μm,

(2)数浓度和表面积浓度的主导粒径分别为10

- ~20 nm 和 100 ~500 nm, 分别为5 770.8 cm $^{-3}$ 和 298.0 μ m²·cm $^{-3}$, 占总浓度的 65% 和 72.0%. 体积分数的主导粒径为 100 ~500 nm 和 2.5 ~ 10 μ m, 分别为 12.2 μ m³·cm $^{-3}$ 和 11.0 μ m³·cm $^{-3}$, 占总体积分数的 41.9% 和 37.8%.
- (3)受人为活动和气象要素的影响 $PM(PM_{2.5}$ 和 $PM_{10})$ 、数浓度和表面积浓度的日变化分布为白天高,夜间低.体积分数的日变化比较复杂,为多峰型分布,峰值主要出现在 7:00、12:00、15:00 和 20:00.
- (4)风向对 PM 和数浓度的影响要比风速的影响大. 当风速小于 6 m·s⁻¹时, PM 和气溶胶数浓度主要受到景区自身污染源的影响. 东风风速为 9~12 m·s⁻¹时,外来输送对景区 PM 和数浓度的影响较大. 不同 RH 下气溶胶谱分布不同. 随着 RH 的增加,气溶胶数浓度谱由双峰型变为单峰型分布,表面积浓度谱由单峰型转变为三峰型分布.参考文献:
- [1] Huang R J, Zhang Y L, Bozzetti C, et al. High secondary aerosol contribution to particulate pollution during haze events in China[J]. Nature, 2014, 514(7521): 218-222.
- [2] Wang Y S, Yao L, Wang L L, et al. Mechanism for the formation of the January 2013 heavy haze pollution episode over central and eastern China [J]. Science China Earth Sciences, 2014, 57(1): 14-25.
- [3] 胡脊, 银燕, 陈魁, 等. 南京雾、霾期间含碳颗粒物理化特征变化分析[J]. 中国环境科学, 2017, 37(6): 2007-2015. Hu R, Yin Y, Chen K, et al. Insights into characteristics of carbonaceous particles during haze and fog events in Nanjing[J]. China Environmental Science, 2017, 37(6): 2007-2015.
- [4] Lighty J S, Veranth J M, Sarofim A F. Combustion aerosols: factors governing their size and composition and implications to human health [J]. Journal of the Air & Waste Management Association, 2000, 50(9): 1565-1618.
- [5] Tie X X, Wu D, Brasseur G. Lung cancer mortality and exposure to atmospheric aerosol particles in Guangzhou, China [J]. Atmospheric Environment, 2009, 43(14): 2375-2377.
- [6] Duan J Y, Wang Y Y, Xie X, et al. Influence of pollutants on activity of aerosol cloud condensation nuclei (CCN) during pollution and post-rain periods in Guangzhou, southern China [J]. Science of the Total Environment, 2018, 642: 1008-1019.
- [7] Ma N, Zhao C S, Tao J C, et al. Variation of CCN activity during new particle formation events in the North China Plain [J]. Atmospheric Chemistry and Physics, 2016, 16 (13): 8593-8607.
- [8] 张小曳. 中国大气气溶胶及其气候效应的研究[J]. 地球科学进展, 2007, **22**(1): 12-16.

 Zhang X Y. Aerosol over China and their climate effect[J].

 Advances in Earth Science, 2007, **22**(1): 12-16.
- [9] Penner J E, Dickinson R E, O'Neill C A. Effects of aerosol from biomass burning on the global radiation budget [J]. Science, 1992, 256(5062); 1432-1434.
- [10] Rosenfeld D, Sherwood S, Wood R, et al. Climate effects of aerosol-cloud interactions [J]. Science, 2014, 343 (6169): 379-380.

- [11] Quan J, Zhang Q, He H, et al. Analysis of the formation of fog and haze in North China Plain (NCP) [J]. Atmospheric Chemistry and Physics, 2011, 11(15): 8205-8214.
- [12] Wang M Y, Cao C X, Li G S, et al. Analysis of a severe prolonged regional haze episode in the Yangtze River Delta, China [J]. Atmospheric Environment, 2015, 102: 112-121.
- [13] Wang H L, Zhu B, Shen L J, et al. Regional characteristics of air pollutants during heavy haze events in the Yangtze River Delta, China[J]. Aerosol and Air Quality Research, 2016, 16: 2159-2171.
- [14] Zhang J K, Huang X J, Wang Y S, et al. Characterization, mixing state, and evolution of single particles in a megacity of Sichuan Basin, southwest China [J]. Atmospheric Research, 2018, 209: 179-187.
- [15] Liu Z R, Gao W K, Yu Y C, et al. Characteristics of PM_{2.5} mass concentrations and chemical species in urban and background areas of China; emerging results from the CARE-China network[J]. Atmospheric Chemistry and Physics, 2018, 18(12): 8849-8871.
- [16] 沈利娟, 王红磊, 李莉, 等. 嘉兴市春季一次持续雾霾过程中气象条件与污染物变化特征分析[J]. 环境科学, 2016, 37(8): 2871-2880.
 Shen L J, Wang H L, Li L, et al. Observation analysis on the characteristics of meteorological elements and pollutants during a continuous fog and haze episode in spring in Jiaxing city[J].

Environmental Science, 2016, 37(8): 2871-2880.

- [17] 江琪, 王飞, 张恒德, 等. 2013 ~ 2015 年北京市 PM_{2.5}、反应性气体和气溶胶粒径的特性分析[J]. 中国环境科学, 2017, 37(10): 3647-3657.

 Jiang Q, Wang F, Zhang H D, et al. The characteristics of PM_{2.5}, reactive gas and aerosol size distributions of Beijing from 2013 to 2015 [J]. China Environmental Science, 2017, 37 (10): 3647-3657.
- [18] 周瑶瑶, 马嫣, 郑军, 等. 南京北郊冬季霾天 PM_{2.5} 水溶性离子的污染特征与消光作用研究[J]. 环境科学, 2015, 36 (6): 1926-1934.
 Zhou Y Y, Ma Y, Zheng J, et al. Pollution characteristics and light extinction effects of water-soluble ions in PM_{2.5} during winter hazy days at north suburban Nanjing[J]. Environmental Science, 2015, 36(6): 1926-1934.
- [19] Kang H Q, Zhu B, Su J F, et al. Analysis of a long-lasting haze episode in Nanjing, China [J]. Atmospheric Research, 2013, 120-121; 78-87.
- [20] Wang H L, Zhu B, Zhang Z F, et al. Mixing state of individual carbonaceous particles during a severe haze episode in January 2013, Nanjing, China[J]. Particuology, 2015, 20: 16-23.
- [21] Wang H L, An J L, Shen L J, et al. Mechanism for the formation and microphysical characteristics of submicron aerosol during heavy haze pollution episode in the Yangtze River Delta, China[J]. Science of the Total Environment, 2014, 490: 501-508.
- [22] 杨洋, 王红磊, 侯雪伟, 等. 石家庄一次持续性霾过程形成原因及气溶胶垂直探空分析[J]. 环境科学学报, 2017, 37 (3): 824-832.
 - Yang Y, Wang H L, Hou X W, et al. Characteristics and formation mechanism of a long-term haze episode and the vertical distribution of aerosol concentration in Shijiazhuang [J]. Acta Scientiae Circumstantiae, 2017, 37(3): 824-832.
- [23] 孟静静, 侯战方, 张二勋, 等. 黄山 PM₁₀中二元羧酸类化合物的季节变化特征及其来源[J]. 环境科学, 2017, **38**(7): 2688-2697.

- Meng J J, Hou Z F, Zhang E X, et al. Seasonal variation and sources of dicarboxylic acids and related compounds in PM_{10} from Mt. Huangshan [J]. Environmental Science, 2017, $38\,(7)$: 2688-2697.
- [24] 银燕, 陈晨, 陈魁, 等. 黄山大气气溶胶微观特性的观测研究[J]. 大气科学学报, 2010, 33(2): 129-136. Yin Y, Chen C, Chen K, et al. An observational study of the microphysical properties of atmospheric aerosol at Mt. Huang [J]. Transactions of Atmospheric Sciences, 2010, 33(2): 129-136.
- [25] 文彬, 银燕, 秦彦硕, 等. 夏季黄山不同高度大气气溶胶水溶性离子特征分析 [J]. 环境科学, 2013, **34**(5): 1973-1981.
 - Wen B, Yin Y, Qin Y S, et al. Chemical characteristics of water-soluble components of aerosol particles at different altitudes of the mount Huang in the summer[J]. Environmental Science, 2013, 34(5): 1973-1981.
- [26] Wang H L, Zhu B, Shen L J, et al. Number size distribution of aerosols at Mt. Huang and Nanjing in the Yangtze River Delta, China: effects of air masses and characteristics of new particle formation [J]. Atmospheric Research, 2014, 150: 42-56.
- [27] 徐宏辉,王跃思,杨勇杰,等.泰山顶夏季大气气溶胶中水溶性离子的浓度及其粒径分布研究[J].环境科学,2008,29(2):305-309.
 - Xu H H, Wang Y S, Yang Y J, et al. Concentrations and size distributions of water soluble ions of atmospheric aerosol at the summit of Mount Tai [J]. Environmental Science, 2008, 29

- (2): 305-309.
- [28] Deng C, Zhuang G, Huang K, et al. Chemical characterization of aerosols at the summit of mountain Tai in central east China [J]. Atmospheric Chemistry and Physics, 2011, 11 (14): 7319-7332.
- [29] Gao X M, Xue L K, Wang X F, et al. Aerosol ionic components at Mt. Heng in central southern China; abundances, size distribution, and impacts of long-range transport[J]. Science of the Total Environment, 2012, 433: 498-506.
- [30] Li W J, Chi J W, Shi Z B, et al. Composition and hygroscopicity of aerosol particles at Mt. Lu in south China: implications for acid precipitation [J]. Atmospheric Environment, 2014, 94: 626-636.
- [31] Li J J, Wang G H, Zhou B H, et al. Chemical composition and size distribution of wintertime aerosols in the atmosphere of Mt. Hua in central China[J]. Atmospheric Environment, 2011, 45 (6): 1251-1258.
- [32] Kulmala M, Vehkamäki H, Petäjä T, et al. Formation and growth rates of ultrafine atmospheric particles: a review of observations [J]. Journal of Aerosol Science, 2004, 35 (2): 143-176.
- [33] Harris S J, Marieq M M. Signature size distributions for diesel and gasoline engine exhaust particulate matter [J]. Journal of Aerosol Science, 2001, 32(6): 749-764.
- [34] Ristovski Z D, Morawska L, Hitchins J, et al. Particle emissions from compressed natural gas engines [J]. Journal of Aerosol Science, 2000, 31(4): 403-413.

HUANJING KEXUE

Environmental Science (monthly)

Vol. 40 No. 5 May 15, 2019

CONTENTS

CONTENID	
Pollution Characteristics and Regional Transport of Atmospheric Particulate Matter in Beijing from October to November, 2016 · · · · · · · · ·	• • • • • • • • • • • • • • • • • • • •
Chemical Compositions, Mass Concentrations, and Emission Factors of Particulate Organic Matters Emitted from Catering	
Size Distributions of Aerosol During the Summer at the Summit of Mountain Taishan (1534 m) in Central East China	
Concentration Characteristics and Source Analysis of PM _{2.5} During Wintertime in Zhengzhou-Xinxiang YAN	Guang-xuan, ZHANG Pu-zhen, HUANG Hai-yan, et al. (2027)
Scenario Analysis of PM _{2.5} Concentration Targets and Milestones in China	
PM _{2.5} Emission Characteristics and Estimation of Emission Reduction Potential from Typical Industrial Sources in Anyang	
Emission Characteristics and List of Inorganic Elements in Fine Particles of Typical Industrial Kilns in Zhengzhou City	
Composition and Atmospheric Reactivity of Ambient Volatile Organic Compounds (VOCs) in the Urban Area of Nanjing, China	
Formation Potential of Ozone and Secondary Organic Aerosol of VOCs from Fossil Fuel Combustion in Lanzhou City	
Inventory and Characteristics of Biogenic Volatile Organic Compounds (BVOCs) for 12 Deciduous Fruit Trees	
Ion Concentrations and Their Spatial Variability in Underground Water and Surface Water in Typical Terrestrial Ecosystems in China	
Status of Antibiotic Contamination and Ecological Risks Assessment of Several Typical Chinese Surface-Water Environments	
Distribution and Risk Assessment of Polycyclic Aromatic Hydrocarbons in Water Bodies in Seven Basins of China	
Occurrence, Input, and Seasonal Variations of Poly-and Perfluoroalkyl Substances (PFASs) in Rivers and Drain Outlets from the Dal	ian Coastal Area, China
Space-time Characteristics and Environmental Significance of Stable Isotopes in Precipitation at an Arid Inland River Basin	
Regional Evolution and Control Factors of Karst Groundwater in Liulin Spring Catchment	
Major Ionic Characteristics and Controlling Factors of Karst Groundwater at Xiangshui, Chongzuo	
Analysis of Transport and Transformation Characteristics Between Dissolved Phosphorus and Particulate Phosphorus in Water of the Th	orne Gorges Reservoir
Vertical Distribution Profiles and Release Potential of Mainstream Column Sediments in the Three Gorges Reservoir After Impoundmen	it to 1/5 m
Distribution Characteristics and Influencing Factors of Phosphorus in the Dongting Lake at Different Water Periods	
Effects of Exogenous Carbon Addition on Equilibrium Phosphate Concentration and Risk of Phosphorus Release from Sediments in the	Sniwuli River, Chaonu Lake Basin
Spatial Distribution of Organic Phosphorus in Sediment and Its Environmental Implication in the Upper Stream of Minjiang River	
Nitrogen and Phosphorus Removal by Integrated Ecological Engineering Treatment System in a Small Agricultural Watershed	
Spatial Distribution and Pollution Assessment of Heavy Metals in River Sediments from Lake Taihu Basin Temporal and Spatial Variation of Mercury in the Water of the Ruxi River Estuary, a Typical Tributary of the Three Gorges Reservoir	
Temporal and Spatial Variation of Mercury in the water of the Ruxi River Estuary, a Typical Tributary of the Tifree Gorges Reservoir	Area MA Wei bin, CHEN Oir yer, VIN Do liong, et al. (2211)
Mercury Distribution Characteristics and Its Mass Balance in a Multifunctional Urban Wetland	
Distribution Characteristics of Mercury in Different Urban Constructed Wetlands	
Effects of Microplastics on Antibiotic Resistance Genes in Estuarine Sediments	
Comparison and Source Apportionment of PAHs Pollution of Runoff from Roads in Suburb and Urban Areas of Shanghai	
Characteristics of Phytoplankton Community and Its Relationship with Environmental Factors in Different Regions of Yilong Lake, Yur	The state of the s
Characteristics of Thytopanicon Community and its rectationship with Environmental Tacors in Different regions of Thong Earce, Tai	WANG Zhen-fang ZHANG Wei YANG Li et al. (2249)
Algal Bloom and Mechanism of Hypoxia in the Metalimnion of the Lijiahe Reservoir During Thermal Stratification	
Allelopathic Effects and Allelochemicals of Myriophyllum elatinoides on Microcystis aeruginosa and Selenastrum capricornutum	
Removal Efficiency of Trichloroacetamide by UV/Sodium Sulfite	
Influencing Factors and Transformation Mechanism of Venlafaxine Degradation by UV	
Mechanism of Synergistic Adsorption of Arsenic and Cadmium by Aluminium-substituted Ferrihydrites	
Fluoride Removal Efficiency of Novel Material: Magnetite Core/Zirconia Shell Nanocomposite	
Impact Mechanisms of Carboxyl Group Modified Cathode on Acetate Production in Microbial Electrosynthesis Systems	
Partial Nitrification and Denitrification of Low C/N Ratio Sewage Based on Zoning Oxygen and Dissolved Oxygen Control	
Start-up Performance of Low-substrate Anaerobic Ammonium Oxidation Under Different COD Concentrations	
Partial Nitrification Fast Start-up and Stable Performance of 15°C SBBR	SUN Yi-qi, BIAN Wei, LI Jun, et al. (2326)
Effects of Long-term Poly-P Deficiency on the Metabolic Properties of Accumulibacter in AO-SBR System	
Extracellular Polymeric Substances of ANAMMOX Granular Sludge and Its Effects on Sludge Surface Characteristics	
Treatment of Piggery Biogas Slurry by Enhanced Biological Contact Oxidation with HN-AD Bacteria	LIU Xiang-yang, ZHANG Qian, WU Heng, et al. (2349)
Effect of Different Temperatures on the Performance of Autotrophic Nitrogen Removal and Microbial Community from Swine Wastewate	er
HUA	ANG Fang-yu, DENG Liang-wei, YANG Hong-nan, et al. (2357)
Characteristics and Regional Heterogeneity of Eukaryotic Microbial Community in Wastewater Treatment Plants	
Effects of Wetland Reclamation on Soil Microbial Community Structure in the Sanjiang Plain	
Distribution Pattern and Diversity Maintenance Mechanisms of Fungal Community in Subalpine Lakes	LIU Jin-xian, LI Cui, LUO Zheng-ming, et al. (2382)
Influence of Biochar Amendment on Soil Denitrifying Microorganisms in Double Rice Cropping System	LIU Jie-yun, QIU Hu-sen, WANG Cong, et al. (2394)
Effects of Plastic Film Mulching and Nitrogen Fertilizer Application on CH ₄ Emissions from a Vegetable Field ·······	
Effects of Water Deficit on Greenhouse Gas Emission in Wheat Field in Different Periods	
Effects of Different Fertilization Modes on Greenhouse Gas Emission Characteristics of Paddy Fields in Hot Areas	···· TIAN Wei, WU Yan-zheng, TANG Shui-rong, et al. (2426)
Effects of Cyclical Temperature Fluctuations on Organic Carbon Mineralization in Purple Soil	
Cd Content Characteristics and Ecological Risk Assessment of Paddy Soil in High Cadmium Anomaly Area of Guangxi	SONG Bo, WANG Fo-peng, ZHOU Lang, et al. (2443)
Remediation Potential of Ageratum conyzoides L. on Cadmium Contaminated Farmland	······· ZHANG Yun-xia, SONG Bo, BIN Juan, et al. (2453)
Evaluation of the Potential Agricultural Risks of Polycyclic Aromatic Hydrocarbon Contaminated Soil by Planting Lactuca sativa L	
Impacts of Land Use and Landscape Patterns on Heavy Metal Accumulation in Soil	
Pollution Characteristics and Evaluation of Heavy Metal Pollution in Surface Soil Around a Municipal Solid Waste Incineration Power I	Plant ·····
	···· LÜ Zhan-lu, ZHANG Jin-liang, LU Shao-you, et al. (2483)